

## شبیه سازی اثرات تغییر اقلیم بر یخندهان های زاهدان با استفاده از مدل های سه بعدی گردش عمومی جو

محمود احمدی<sup>۱\*</sup>، اکبر زهراei<sup>۲</sup>

۱- استادیار دانشکده علوم زمین، دانشگاه شهید بهشتی

۲- دانشجوی دوره دکتری آب و هواشناسی، دانشگاه اصفهان

پذیرش مقاله: ۱۳۹۳/۸/۱۵

تأیید نهایی مقاله: ۱۳۹۳/۱۱/۲۲

### چکیده

اقلیم یک سیستم پیچیده است. در سال‌های اخیر به دلیل افزایش گازهای گلخانه‌ای در حال تغییر است. این پژوهش در نظر دارد اثرات تغییر اقلیم را در یخندهان های شهر زاهدان با استفاده از مدل‌های سه بعدی گردش عمومی جو شبیه سازی نماید. در این پژوهش ابتدا ده مدل گردش عمومی جو بررسی شد. سپس با ارزیابی مناسبت هر نمونه، مدل مناسب جهت استخراج یخندهان های ایستگاه زاهدان شناسایی گردید. پس از صحت سنجی مدل‌های بکار گرفته شده با روش‌های آماری و چشمی مشخص گردید، مدل HADGEM با میزان خطای مطلق ۰/۱۶، با انطباق کامل قابلیت شبیه سازی مولفه کمینه دما در دوره سرد سال را دارد. نتایج نشان داد، تعداد یخندهان های سالانه در آینده حدود ۱۸ روز نسبت به دوره حاضر کاهش خواهد یافت. در میان طبقات مورد بررسی یخندهان های ضعیف دارای روند افزایشی و یخندهان های شدید و خیلی شدید دارای روند کاهشی مشاهده گردید. بازه زمانی یخندهان های شدید و خیلی شدید از هفت ماه در دوره آماری حاضر به پنج ماه در دوره آماری آینده تقلیل خواهد یافت.

**واژه‌های کلیدی:** تغییر اقلیم، شبیه سازی، مدل‌های سه بعدی گردش عمومی جو، زاهدان.

تابش و درجه حرارت روزانه در یک ایستگاه براساس سری زمانی موجود و بسط آن به آینده به کار می‌رود. نسخه اولیه این مدل توسط راسکو و همکاران (۱۹۹۱) در بوداپست مجارستان به عنوان بخشی از پژوهه ریسک‌های کشاورزی ابداع شد و سپس توسط سمنوف و بارو ارتقاء یافت. برای انجام مطالعات تغییر اقلیم بر منابع مختلف در دوره‌های آتی، در ابتدا می‌باشد متغیرهای اقلیمی تحت تاثیر تغییرات گازهای گلخانه‌ای شبیه‌سازی شوند. یکی از اثرات تغییر اقلیم در دوره اقلیمی آینده به واسطه افزایش مولفه‌های دمایی، کاهش تعداد و فراوانی یخ‌بندانهای با شدت‌های متفاوت می‌باشد. از جمله مطالعاتی که در زمینه مدل‌سازی اقلیمی مناطق مختلف جهان با استفاده از مدل‌های آماری انجام شده می‌توان به مقاله تامسون و مولان (۱۹۹۵) در ارتباط با مدل سازی ۳۰ سال اقلیم ایستگاه‌های هواشناسی در نیوزلند اشاره کرد (تامسون و مولان، ۱۹۹۵). جانسون و همکاران (۱۹۹۶) دو مدل مختلف تولید داده‌های هواشناسی را مورد بررسی قراردادند (جانسون و همکاران، ۱۹۹۶ و ۱۸۷۸). در تحقیقی اثرات هیدرولوژی تغییر اقلیم بوسیله مدل‌های GCM و یک مدل کوچک مقیاس کردن آنالوگ در جنوب انگلستان توسط الشمی و همکاران (۲۰۰۵) مورد مطالعه قرار گرفت. این مطالعه چگونگی تبدیل داده‌های ماهانه به روزانه توسط تکنیک مولداتی هواشناسی را بررسی نمود. وبلبی و همکاران (۲۰۰۱) مدل SDSM را برای ریز مقیاس نمایی اطلاعات بارش و دما با استفاده از روش‌های آماری ابداع کردند (وبلبی، ۲۰۰۱). CLIMGEN یکی از مولداتی تصادفی داده‌های آب و هوایی از نوع ریچارسون است که سری‌های زمانی روزانه بارندگی، دما، نقطه شبنم، باد و تابش خورشیدی را برای یک منطقه مشخص

## مقدمه

انجام پژوهش‌های مرتبط با تغییر اقلیم برای آمادگی هر چه بیشتر جهت مقابله و نیز کاهش هزینه‌های خسارت بار ناشی از این تغییر بسیار ضروری است. رشد صنایع و به موجب آن مصرف بیش از حد سوخت‌های فسیلی از یک سو و افزایش جمعیت جهان، تغییر کاربری اراضی و تخریب پوشش گیاهی از جمله جنگل و مرتع از سوی دیگر، موجب شده است تا پس از انقلاب صنعتی به تدریج تغییرات مشهودی در اقلیم کره زمین به وجود آید (بابائیان، ۱۳۸۶). بارزترین این تغییرات افزایش متوسط دمای کره زمین، افزایش پدیده‌های حدی اقلیمی نظیر سیل، طوفان، تگرگ، طوفان‌های حاره‌ای، امواج گرمایی، افزایش سطح آب دریاها، ذوب شدن یخ‌های قطبی، خشکسالی، کاهش دامنه شبانه‌روزی دما و تبعات آن و... می‌باشد. اقلیم سیستم بسیار پیچیده‌ای است که عمده‌تا به دلیل افزایش گازهای گلخانه‌ای در حال تغییر است (بابائیان و همکاران، ۱۳۸۸). برای پیش‌بینی بلند مدت اقلیمی روش‌های گوناگونی وجود دارند یکی از این روش‌ها استفاده از مدل‌های گردش عمومی جو (GCMs2) می‌باشد. یکی از ضعف‌های مدل‌های جوی - اقیانوسی AOGCM بزرگ مقیاس بودن سلول محاسباتی آنها، به لحاظ مکانی و زمانی نسبت به منطقه مورد مطالعه می‌باشد. لذا این متغیرها برای مطالعات هیدرولوژی و منابع آب از دقت کافی برخوردار نیستند. روش‌های مختلفی جهت تولید ستاریوهای اقلیمی منطقه‌ای از ستاریوهای اقلیمی مدل‌های AOGCM وجود دارد که به این روش‌ها ریز مقیاس کردن گفته می‌شود. لذا در این مطالعه از مدل آماری لارس استفاده گردید که در ادامه به بررسی آن‌ها پرداخته می‌شود. لارس یکی از این مدل‌ها می‌باشد که برای تولید مقادیر بارش،

فصل تابستان و بهار کاهش بارش رخ خواهد داد. باباییان و همکاران (۱۳۸۵) با استفاده از مدل LARS-WG، خروجی مدل ECHO-G را بر روی ایستگاه‌های سینوپتیک استان خراسان ریز مقیاس نمودند. کارآموز و همکاران (۱۳۸۶) با استفاده از ریز مقیاس نمایی به روش آماری به پیش‌بینی بارش حوضه آبریز اهرچای پرداختند. حسامی و همکاران (۱۳۸۶) با استفاده از نرم افزار SDSM با استفاده از الگوریتم آماری داده‌های درجه حرارت بیشینه ایستگاه کرمان را جهت بررسی تغییرات اقلیمی در دهه‌های آینده ریزمقیاس نمودند. نجفی نیک (۱۳۸۷) در پژوهشی جهت پایش و پیش‌بینی خشکسالی در استان کرمان، با استفاده از شاخص دهکها بارش را برای دوره ۲۰۳۹-۲۰۱۰ مدلسازی کرده است. تلان و همکاران (۱۳۸۷) تغییر اقلیم استان آذربایجان شرقی در دوره سالهای ۲۰۴۹-۲۰۲۰ میلادی را با استفاده از ریزگردانی آماری مدل ECHO-G بررسی کردند. باباییان و همکاران (۱۳۸۸) تغییر اقلیم کشور شامل ۴۳ ایستگاه سینوپتیک را در دوره‌ی ۲۰۳۹-۲۰۱۰ میلادی با استفاده از ریزگردانی داده‌های مدل گردش عمومی جو ECHO-G ارزیابی کردند.

## مواد و روش‌ها

در پژوهش حاضر جهت ارزیابی اثرات تغییر اقلیم بر یخبندان‌های ایستگاه زاهدان ابتدا داده‌های ورودی به مدل جمع آوری و تصحیح گردید. ورودی مدل شامل چهار پارامتر کمینه دما، بیشینه دما، بارش و ساعت آفتابی بعنوان نماینده تابش در ایستگاه‌ها در مقیاس روزانه طی دوره آماری ۱۹۶۱-۲۰۰۹ بود. پس از اخذ داده‌ها از سازمان هواشناسی اقدام به مرتب کردن هر پارامتر بر اساس ماههای میلادی جهت ورود به

برآورد می‌کند (Ricciarson و همکاران، ۱۹۸۴). هارمل و همکارانش (۲۰۰۲) در موسسه تحقیقات کشاورزی آمریکا دمای کمینه و بیشینه ایستگاه‌های هواشناسی آمریکا را با استفاده از روش‌های آماری مدلسازی کردند (هارمل و همکاران، ۱۹۹۸ و ۲۰۰۲). ویلکس و همکاران (۱۹۹۲ و ۱۹۹۸) روشی را برای کاربرد سناریوهای تغییر اقلیم با استفاده از مدل WGEN که یک مدل مولد داده‌های هواشناسی است، ابداع کردند این مدل می‌تواند برای تولید مقادیر روزانه دمای ماکزیمم، مینیمم، بارندگی و تابش روزانه خورشید به کار رود (ویلکس و همکاران، ۱۹۹۲؛ Ricciarson و همکاران، ۱۹۸۴ و ۱۹۹۹). مک‌کاگ (۲۰۰۳) توانمندی مدل زمنف، ۱۹۹۸ (MCKAG) را برای شبیه سازی پارامترهای CLIMGEN هواشناسی در ایستگاه‌های انتاریو جنوبی در کانادا مورد مطالعه قرار دادند (مک‌کاگ، ۲۰۰۳). در ایران، آذرانفر و ابریشم چی (۱۳۸۵) اثر تغییر اقلیم بر بارش و دما را در حوضه آبریز زاینده رود در دو دوره ۲۰۲۱-۲۰۵۰ و ۲۰۷۱-۲۱۰۰ با CGCM3 استفاده از مدل گردش عمومی جو تحت دو سناریوی انتشار A2 و B2 با استفاده از ریز مقیاس نمایی به روش آماری مورد بررسی قرار دادند. نتایج نشان دهنده افزایش دما به اندازه ۵-۲ درجه سانتی گراد در دوره‌های آینده و همچنین افزایش بارش در ماههای دسامبر و ژانویه می‌باشد. سادات آشفته و مساح بوانی (۱۳۸۶) تاثیر تغییر اقلیم بر حوضه رودخانه آیدوغموش آذربایجان شرقی را در دوره ۲۰۴۰-۲۰۶۹ با استفاده از مدل گردش عمومی HadCM3 تحت سناریوی انتشار A2 بررسی کردند و نتیجه گرفتند که دما در دوره آتی نسبت به دوره پایه (۱۹۷۱-۲۰۰۰) بین ۱/۵ تا ۴ درجه افزایش خواهد داشت. این در حالی است که در فصول پاییز و زمستان افزایش و در

مذکور همگی از طریق نرم افزار لارس اجرا می‌گردند. جدول ۱ مشخصات کلی مدل‌های AOGCM بکار رفته را ارائه می‌دهد.

مدل گردید. جهت بررسی تغییر اقلیم در دوره‌های آینده نیاز به تدوین سناریوهای تغییر اقلیم می‌باشد. برای اینکار از خروجی ۱۰ مدل گردش عمومی جو جدول ۱ استفاده شده است. مدل‌های

جدول ۱: مشخصات مدل‌های گردش عمومی جو مورد مطالعه (سمنوف و استرانویچ، ۲۰۱۰)

| نوع مدل | دقت مکانی (درجه) | سناریوهای شبیه‌سازی شده | کشور     | مرجع                                       |
|---------|------------------|-------------------------|----------|--------------------------------------------|
| BCM2    | ۱.۹×۱.۹          | A1                      | نروژ     | Déqué (1994)                               |
| CGMR    | ۲.۸×۲.۸          | A1                      | کانادا   | McFarlane et al. (1992)                    |
| CSMK3   | ۱.۹×۱.۹          | A1                      | استرالیا | Gordon et al. (2002), CSMD (2005)          |
| GIAOM   | ۳×۴              | A1                      | امریکا   | Russell et al. (1995)                      |
| HADCM3  | ۲.۵×۳.۷۵         | A1                      | انگلستان | Gordon et al. (2000), Pope et al. (2000)   |
| HADGEM  | ۱.۳×۱.۹          | A1                      | انگلستان | Martin et al. (2006), Ringer et al. (2006) |
| IPCM4   | ۲.۵×۳.۷۵         | A1                      | فرانسه   | Hourdin et al. (2006)                      |
| MPEH5   | ۱.۹×۱.۹          | A1                      | آلمان    | Roeckner et al. (1996)                     |
| NCCCSM  | ۱.۴×۱.۴          | A1                      | امریکا   | Collins et al. (2004)                      |
| NCPCM   | ۲.۸×۲.۸          | A1                      | امریکا   | Kiehl et al. (1998), Kiehl & Gent (2004)   |

کمتر در سرعت پیشرفت اقتصادی در نظر گرفته شده است (IPCC, 1999).

$$\Delta E = E_{GCM}^{fut} - E_{GCM}^{base} \quad (1)$$

$$\Delta F = F_{GCM}^{fut} / F_{GCM}^{base} \quad (2)$$

در روابط فوق  $E_{GCM}^{base}$  و  $F_{GCM}^{base}$  نشان دهنده میانگین ماهانه کمیت‌های تحت بررسی در دوره پایه و  $E_{GCM}^{fut}$  و  $F_{GCM}^{fut}$  نشان دهنده میانگین ماهانه کمیت‌های تحت بررسی در دوره آتی می‌باشند که از خروجی مدل‌های GCM بدست آمده اند. برای ریزمقیاس نمایی و تولید داده برای دوره آتی از مدل LARS-WG استفاده شده است که یک مدل مولد

بدین منظور خروجی مدل‌های اقلیمی تحت بررسی شامل مقادیر دمای کمینه، بیشینه، بارش و ساعت آفتابی ماهانه در دوره پایه (۲۰۰۰-۱۹۷۱) و همچنین در دوره آتی (۲۰۱۱-۲۰۳۹) تحت سناریوی انتشار A1 از مجموعه سناریوهای IPCC SRES بر طبق گزارش چهارم استخراج (AR4, 2007) از سایت (CCCSN) از سایت (AR4, 2007) شدن. سپس مقادیر مربوط به این دو دوره با یکدیگر مقایسه و سناریوی تغییر اقلیم مطابق رابطه ۱ در مورد دما و ساعت آفتابی و مطابق رابطه ۲ در مورد بارش تدوین گردید. در سناریوی A1 جهان متمایز با وضعیت فعلی آن خواهد بود بطوریکه در این سناریو رشد زیاد جمعیت جهان، افزایش زیاد غلظت گاز گلخانه‌ای  $CO_2$  و نوسانات

شده و در نهایت اقدام به تولید داده‌های در مقیاس روزانه برای دوره اقلیمی ۲۰۴۱-۱۳۲۰ گردید. در گام اول پژوهش همگنی داده‌ها مورد بررسی قرار گرفت. برای همگنی داده‌ها، از آزمون RUN-TEST استفاده شد که تصادفی بودن آنها در سطح ۹۵ درصد قابل قبول بود. پس از آزمون همگنی داده‌ها داده‌های ورودی به مدل با استفاده از ده مدل بکارگرفته برای دوره پایه شبیه سازی گردید. سپس قدرت هر مدل در تولید مولفه‌های دمایی ایستگاه زاهدان با استفاده از صحت سنجی آماری و چشمی آزمون گردید تا در نهایت جهت بررسی یخ‌بندان-های ایستگاه زاهدان مدل انتخاب گردد که بیشترین قدرت را در شبیه سازی دوره پایه مولفه‌های دمایی بخصوص مولفه کمینه دمایی را داشته باشد. صحت سنجی آماری مدل‌ها با استفاده از خطاهای اریبی و مطلق هر مدل به تفکیک مولفه‌های دمایی و عنصر تابش صورت گرفت. نتایج صحت سنجی آماری مدل نشان داد که جهت شبیه سازی یخ‌بندان‌های زاهدان نامناسب ترین مدل، مدل NCPCM با خطای مطلق  $0.38\%$  و پس از آن مدل‌های MPEH5 و HADCM3 با خطای مطلق به میزان  $0.3\%$  شناسایی گردید. در نهایت با توجه به میزان خطای مطلق مناسب ترین مدل، مدل HADGEM با خطای مطلق به میزان  $0.16\%$  شناسایی گردید. خطاهای محاسبه شده برای هر مدل در جدول ۲ آمده است. پس از محاسبه خطاهای اریبی و مطلق مدل‌ها اقدام به مقایسه چشمی هر مدل با مقایسه مقادیر میانگین دیده‌بانی و شبیه سازی شده و همچنین انحراف معیار مقادیر دیده بانی شده و شبیه سازی شده گردید. نتایج مقایسه چشمی در شکل‌های ۱ تا ۱۰ آمده است. چون هدف پژوهش بررسی یخ‌بندان‌ها است پس در روند پژوهش شبیه سازی دوره سرد بیش از دوره گرم مورد توجه است.

داده‌های وضع هوا می‌باشد. مبنای این مدل برای مدلسازی طول دوره‌های خشک و تر، بارش روزانه و سری‌های تابش، توزیع نیمه تجربی می‌باشد و سری فوریه، درجه حرارت را تخمین می‌زند. تولید داده توسط مدل Lars-WG در سه مرحله انجام می‌شود: کالیبره کردن، ارزیابی و ایجاد داده‌های هواشناسی. برای ارزیابی توانمندی مدل باید فایل داده‌های واقعی در دوره آماری و فایل داده‌های ساختگی توسط مدل Lars-WG برای هر ایستگاه در همین دوره با یکدیگر مقایسه شود (سمنوف و همکاران، ۱۹۹۹).

پس از اطمینان از توانمندی مدل Lars-WG در شبیه سازی پارامترهای هواشناسی تحت بررسی، می‌توان با وارد کردن مشخصات ایستگاه و داده‌های روزانه آن در دوره مشاهداتی و سناریوی اقلیمی تدوین شده با استفاده از خروجی‌های GCM به مدل، برای دوره آینده داده‌های روزانه تولید کرد. در صورتی که انحراف معیار مقادیر مدل‌سازی شده کمتر از مقادیر واقعی بدست آید با استفاده از رابطه ۳ می‌توان انحراف معیار مقادیر مدل‌سازی شده را با حفظ میانگین‌های آن اصلاح (Inflate) کرد که در آن STD انحراف معیار پارامتر هواشناسی تحت بررسی است (بابائیان و کوان، ۲۰۰۴).

$$\text{Rabte ۳} \quad STD_{\text{fut}} = \frac{STD_{\text{base}}^{\text{OBS}}}{STD_{\text{base}}^{\text{GCM}}} \times STD_{\text{fut}}^{\text{GCM}}$$

جهت صحت سنجی مدل از دو روش آماری و مقایسه ای استفاده گردید. در روش آماری با محاسبه خطای اریبی و خطای مطلق مدل‌ها نقاط قوت و ضعف مدل‌ها در شبیه سازی مورد ارزیابی قرار گرفت. قدرت کلی مدل در مدل داده‌های دیده بانی شده با محاسبه بایاس و خطای مطلق بین داده‌های دیده بانی شده و مدل شده محاسبه گردید. پس از صحت سنجی مدل داده‌های برای دوره ۲۰۱۳-۲۰۴۱ بر اساس سناریوی پایه ریزگردانی

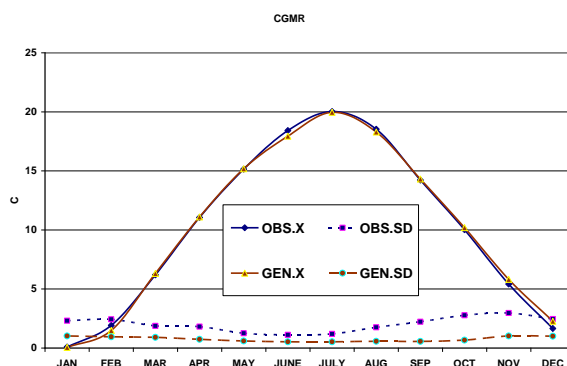
جدول ۲: میزان خطای اربی و مطلق هر مدل در شبیه سازی مولفه های دما و تابش ایستگاه زاهدان

| نوع    | خطا<br>مدل<br>انتشار | کمینه دما | بیشینه دما | خطای<br>تابش | خطای اربی<br>مطلق | خطای اربی<br>مطلق | خطای اربی<br>مطلق |
|--------|----------------------|-----------|------------|--------------|-------------------|-------------------|-------------------|
| BCM2   | BCM2                 | -0.05     | 0.26       | 0.22         | 0.17              | 0.19              | 0.19              |
| CGMR   | CGMR                 | -0.02     | 0.19       | 0.25         | 0.17              | 0.17              | 0.17              |
| CSMK3  | CSMK3                | -0.03     | 0.26       | 0.24         | 0.19              | 0.19              | 0.19              |
| GIAOM  | GIAOM                | -0.02     | 0.23       | 0.16         | 0.14              | 0.14              | 0.18              |
| HADCM3 | HADCM3               | -0.01     | 0.03       | 0.29         | 0.17              | 0.17              | 0.17              |
| HADGEM | HADGEM               | -0.05     | 0.16       | 0.23         | 0.17              | 0.17              | 0.17              |
| IPCM4  | IPCM4                | -0.01     | 0.28       | 0.23         | 0.19              | 0.19              | 0.22              |
| MPEH5  | MPEH5                | -0.04     | 0.03       | 0.03         | 0.19              | 0.19              | 0.19              |
| NCCCSM | NCCCSM               | -0.01     | 0.28       | 0.24         | 0.15              | 0.15              | 0.17              |
| NCPCM  | NCPCM                | -         | 0.38       | 0.26         | 0.16              | 0.17              | 0.17              |

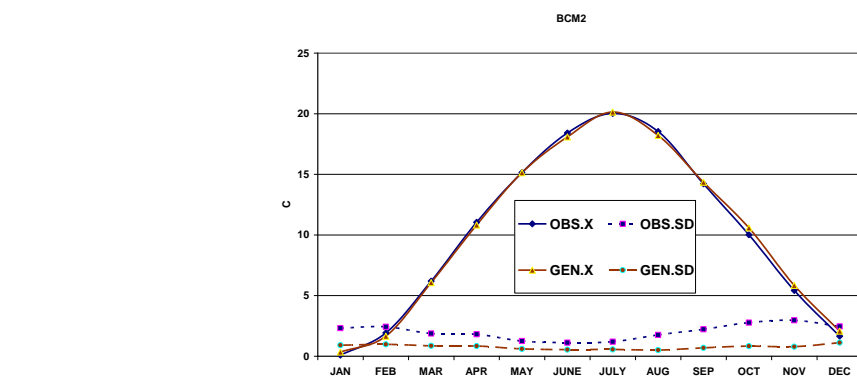
انطباق خوبی بین مقادیر شبیه سازی شده و مقادیر دیده بانی شده وجود ندارد. مدل CGMR در شبیه سازی مقادیر کمینه دما دوره گرم قابلیت بیشتری نسبت به دوره سرد داشته است، بطوریکه در فصل تابستان انطباق کامل بین مقادیر شبیه سازی شده و مقادیر دیده بانی شده دیده می شود (شکل ۱ و ۲).

## نتایج

نتایج تفسیر چشمی در مدل BCM2 نشان داد که مدل در شبیه سازی کمینه دما در فصل بهار قدرت و انطباق بیشتری نسبت به سایر فصول دارد. کمترین انطباق بین مقادیر شبیه سازی شده و مقادیر دیده بانی شده را می توان در فصل پاییز مشاهده کرد. در دو فصل زمستان و تابستان نیز



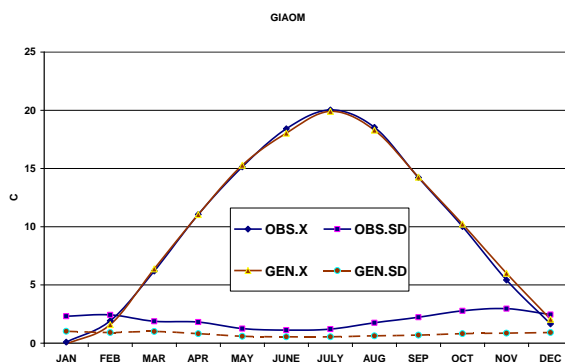
شکل ۱: میانگین و انحراف معیار مقادیر دیده بانی (OBS) و شبیه سازی شده (GEN) مولفه کمینه با مدل BCM2



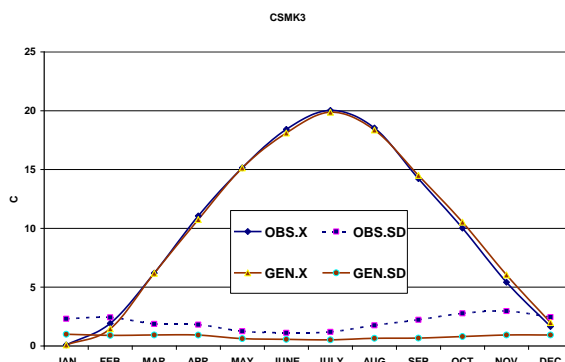
شکل ۲: میانگین و انحراف معیار مقادیر دیده بانی (OBS) و شبیه سازی شده (GEN) مولفه کمینه با مدل CGMR

می‌شود. مدل GIAOM توانسته با انطباق کامل مقادیر کمینه دما در دوره گرم را شبیه‌سازی نماید ولی در دوره سرد بخوبی نتوانسته مقادیر دیده‌بانی شده را شبیه‌سازی نماید. کمترین انطباق مدل در ماههای دسامبر و فوریه دیده می‌شود (شکل ۳ و ۴).

مدل CSMK3 در ایستگاه بخوبی توانسته کمینه دما در فصل بهار را با انطباق خوب شبیه سازی نماید ولی بخوبی نتوانسته مقادیر کمینه دما را در دوره سرد که هدف مطالعه است شبیه سازی نماید. بدترین انطباق بین مقادیر شبیه سازی شده و مقادیر دیده‌بانی شده در فصل پاییز مشاهده



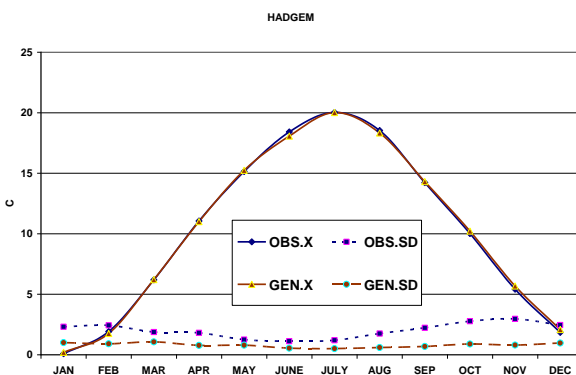
شکل ۳: میانگین و انحراف معیار مقادیر دیده بانی (OBS) و شبیه سازی شده (GEN) مولفه کمینه با مدل CSMK3



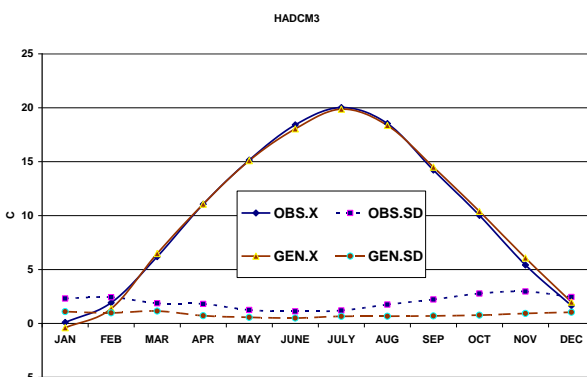
شکل ۴: میانگین و انحراف معیار مقادیر دیده بانی (OBS) و شبیه سازی شده (GEN) مولفه کمینه با مدل GIAOM

خوبی و با انطباق کامل توانسته مقادیر کمینه دما در دوره سرد را شبیه‌سازی نماید و میزان این انطباق در فصل زمستان بیش از فصل پاییز است. کمترین قابلیت مدل در شبیه‌سازی مقادیر کمینه دما در اوایل فصل پاییز مشاهده می‌شود (شکل ۵ و ۶).

در مورد نتایج مدل HADCM3 می‌توان گفت که بهترین قابلیت مدل در تولید مقادیر فصل بهار و کمترین قابلیت و قدرت آن در تولید مقادیر کمینه دما در فصل زمستان دیده می‌شود. مدل مذکور نیز در شبیه‌سازی مقادیر دیده‌بانی شده در دوره گرم بیشتر از دوره سرد قابلیت داشته است. نتایج مدل HADGEM نشان داد که مدل به



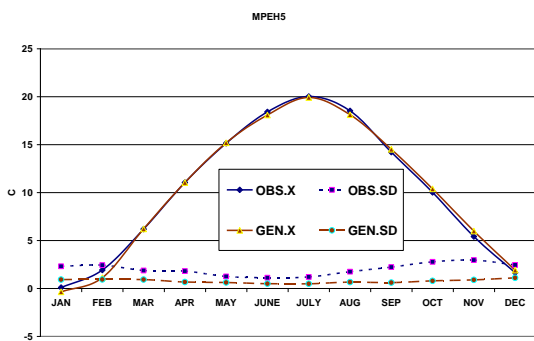
شکل ۵: میانگین و انحراف معیار مقادیر دیده بانی (OBS) و شبیه‌سازی شده (GEN) مولفه کمینه با مدل HADCM3



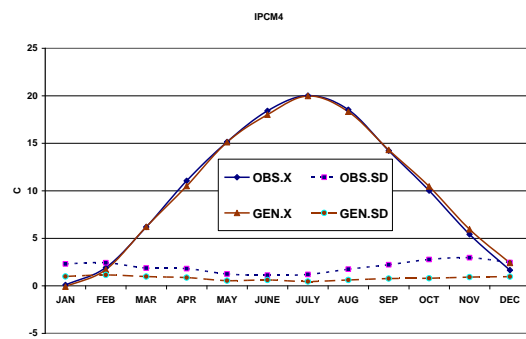
شکل ۶: میانگین و انحراف معیار مقادیر دیده بانی (OBS) و شبیه‌سازی شده (GEN) مولفه کمینه با مدل HADGEM

دما در فصل بهار را شبیه‌سازی نماید ولی در سایر فصول انطباق خوبی بین مقادیر دیده‌بانی شده و مقادیر شبیه‌سازی دیده نمی‌شود. کمترین قابلیت مدل در فصل زمستان دیده می‌شود (شکل ۷، ۸، ۹ و ۱۰).

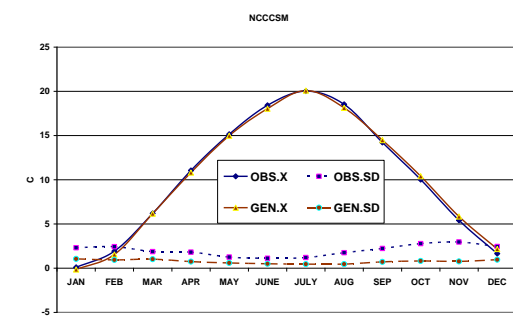
نتایج مدل IPCM4 نشان داد که قابلیت مدل در شبیه‌سازی مقادیر کمینه دمای در فصل تابستان بیشتر از سایر فصول است. کمترین قابلیت مدل در دوره سرد، بخصوص در فصل پاییز دیده می‌شود. نتایج بدست آمده از مدل MPEH5 نشان داد که مدل با انطباق خوبی توانسته مقادیر کمینه



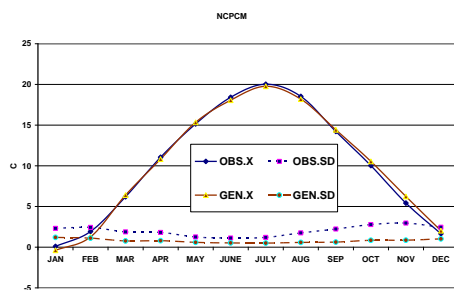
شکل ۷: میانگین و انحراف معیار مقادیر دیده بانی (OBS) و شبیه سازی شده (GEN) مولفه کمینه با مدل IPCM4



شکل ۸: میانگین و انحراف معیار مقادیر دیده بانی (OBS) و شبیه سازی شده (GEN) مولفه کمینه با مدل IPCM4



شکل ۹: میانگین و انحراف معیار مقادیر دیده بانی (OBS) و شبیه سازی شده (GEN) مولفه کمینه با مدل NCCCSM

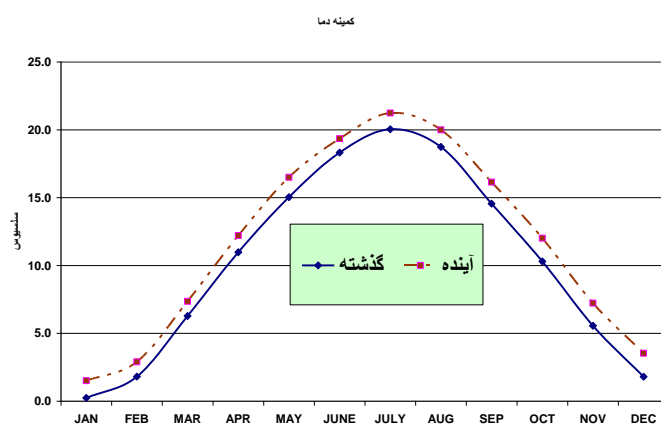


شکل ۱۰: میانگین و انحراف معیار مقادیر دیده بانی (OBS) و شبیه سازی شده (GEN) مولفه کمینه با مدل NCPCM

آینده جهت تولید داده مصنوعی و تحلیل آن باشد. پس از بررسی شایستگی و مناسبت مدل-های مورد مطالعه و انتخاب مدل مناسب (HADGEM)، با استفاده از مدل مذکور اقدام به تولید داده‌های مصنوعی کمینه دما برای دوره آماری ۲۰۴۱-۲۰۱۳ در مقیاس روزانه گردید. مقایسه میانگین دمای کمینه ماهانه در دوره آماری حاضر (۱۹۶۱-۲۰۰۹) و دوره آماری آینده (۲۰۱۳-۲۰۴۱) نشان داد که میانگین دمای کمینه در دوره آینده در تمامی ماههای نسبت به دوره حاضر افزایش خواهد یافت و مقدار این افزایش چیزی در حدود یک درجه سلسیوس برای ایستگاه زاهدان است. بیشترین افزایش در کمینه دما در فصل پاییز و کمترین آن در فصل زمستان مشاهده می‌شود (شکل ۱۱).

قابلیت مدل NCCCSM در شبیه‌سازی مقادیر فصل بهار بهتر از سایر فصول است. کمترین قابلیت مدل در فصل پاییز دیده می‌شود. همچنین مدل ماههای اول زمستان را نیز نتوانسته بخوبی شبیه سازی نماید. مدل NCPCM نیز نتوانسته بخوبی کمینه دما در دوره سرد را شبیه‌سازی نماید بطوریکه کمترین قابلیت مدل در دوره سرد و بهترین قابلیت آن در فصل بهار مشاهده می‌شود.

نتایج صحت سنجی چشمی مدل‌های مورد مطالعه نیز همانند صحت سنجی آماری حاکی از آن بود که مدل HADGEM بخوبی توانسته تغییرات مولفه کمینه دما در دوره سرد را با انطباق کامل شبیه‌سازی نماید و می‌تواند مدل مناسب برای بررسی یخندهانهای ایستگاه زاهدان در دوره



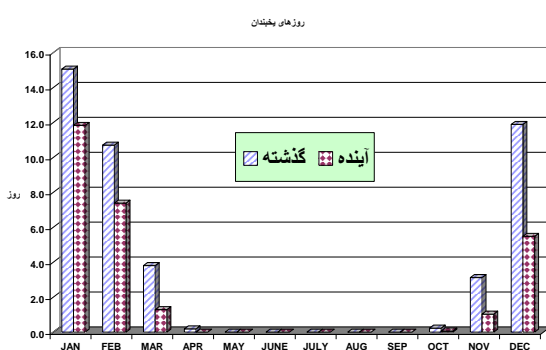
شکل ۱۱: میانگین کمینه دمای ایستگاه زاهدان در دو دوره آماری حاضر و آینده

(۱۳۸۶). برای بررسی یخندهانها از دو مولفه میانگین ماهانه و تعداد سالانه هر کدام استفاده گردید. نتایج بررسی یخندهانها نشان داد که یخندهانهای ایستگاه زاهدان در دوره حاضر در هفت ماه از سال از ماههای اکتبر تا آوریل دیده می‌شوند. بیشترین میانگین روزهای یخندهان در ماه ژانویه با حدود ۱۵ روز و کمترین آن در ماه‌های آوریل و اکتبر با میانگین حدود یک روز می-

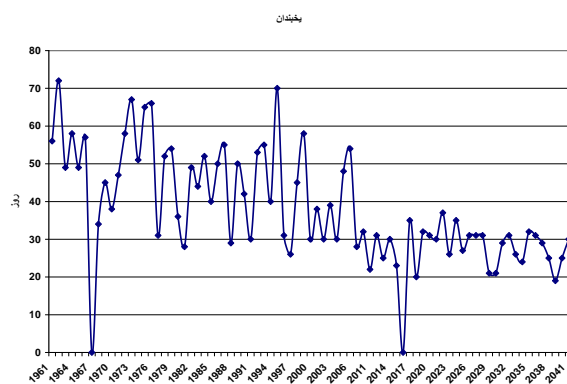
پس از بررسی مقادیر کمینه دما روزهای با دمای کمتر از صفر در دوره‌های آماری مورد مطالعه به عنوان روز یخنده شناخته شده و استخراج گردید. پس از استخراج یخندهانها، آنها در سه طبقه یخندهانهای ضعیف (صفر تا -1 درجه سلسیوس)، یخندهانهای شدید (-1 تا -3 درجه سلسیوس) و یخندهانهای خیلی شدید (پایین‌تر از -3 درجه سلسیوس) جای گرفتند (اسماعیلی،

آینده نسبت به دوره حاضر است. به لحاظ ماهانه بیشترین کاهش در میانگین یخبندان ماهانه در دوره آینده در ماه دسامبر با حدود ۶ روز است (شکل ۱۲). کمترین میزان کاهش در میانگین نیز در ماه ژانویه دیده می‌شود. روند سالانه تعداد یخبندان‌ها نیز حاکی از کاهش تعداد آنها در دوره آماری آینده است (شکل ۱۳).

باشد. میانگین یخبندان‌های سالانه ایستگاه در دوره حاضر ۴۵ روز بوده که در دوره آینده به حدود ۲۷ روز خواهد رسید و این به معنی تعداد یخبندان‌های سالانه در آینده حدود ۱۸ روز نسبت به دوره حاضر کاهش خواهد یافت. نتایج بررسی میانگین یخبندان‌های ایستگاه زاهدان در دو دوره حاکی از کاهش تعداد و میانگین آنها در دوره



شکل ۱۲: مقایسه میانگین تعداد یخبندان‌ها در دو دوره آماری مورد بررسی



شکل ۱۳: مقایسه تعداد یخبندان‌های سالانه در دو دوره آماری مورد بررسی

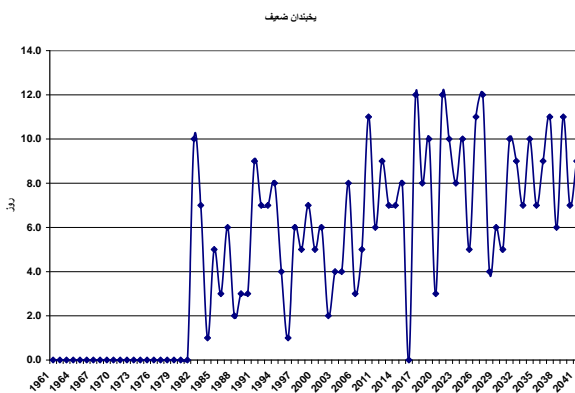
یخبندان‌های ضعیف است. بیشترین میزان افزایش ماهانه در دوره آماری آینده در ماههای ژانویه و فوریه و کمترین میزان آن در ماه مارس دیده می‌شود. نتایج تحلیل میانگین یخبندان‌های ضعیف نشان داد که تعداد آنها در ماه ژانویه از حدود یک روز در دوره حاضر به حدود سه روز، در ماه فوریه از حدود ۵/۰ روز به حدود یک روز و در ماه دسامبر از حدود ۷/۰ روز به حدود دو روز خواهد

بررسی یخبندان‌های ایستگاه زاهدان با شدت-های مختلف

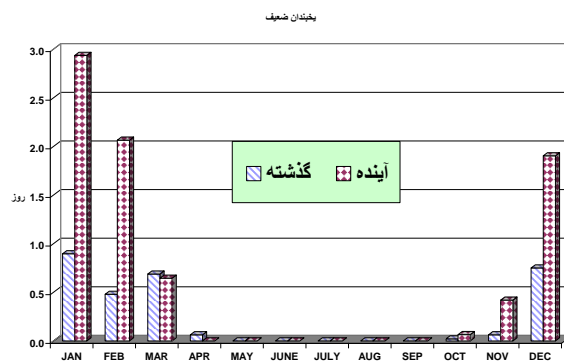
۱- یخبندان‌های ضعیف: نتایج تحلیل یخبندان‌های ضعیف در ایستگاه زاهدان نشان داد که برخلاف روند یخبندان‌ها بصورت کلی تعداد یخبندان‌های ضعیف در دوره آماره آینده (۲۰۱۳-۲۰۴۱) افزایش خواهد یافت و میانگین این افزایش برای دوره آینده حدود ۵ روز افزایش در تعداد

از افزایش آنها در دوره آماری آینده برای ایستگاه زاهدان خواهد بود (شکل ۱۵).

رسید (شکل ۱۴). بررسی سالانه تعداد یخندهانهای ضعیف در دو دوره آماری مورد مطالعه حاکی



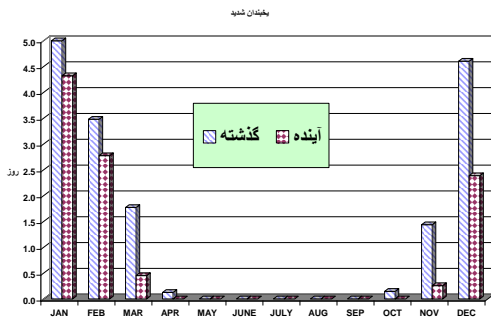
شکل ۱۴: مقایسه میانگین تعداد یخندهانهای ضعیف در دو دوره آماری مورد بررسی



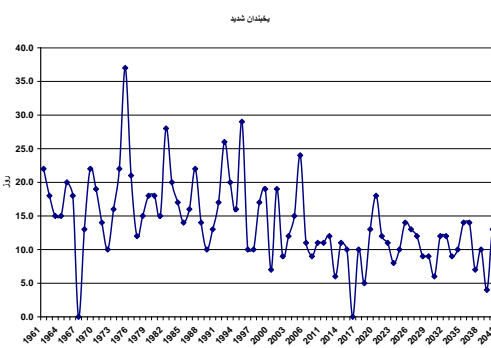
شکل ۱۵: مقایسه تعداد یخندهانهای ضعیف سالانه در دو دوره آماری مورد بررسی

از ۱/۶ روز به کمتر از ۰/۵ در ماه مارس، از ۱/۵ روز به ۰/۲ در ماه نوامبر و از ۴/۵ روز به ۲/۲ روز در ماه دسامبر خواهد رسید. ضمناً یخندهانهای شدید در دو ماه آوریل و اکتبر به صفر روز در دوره آماری آینده خواهد رسید و دوره یخندهانهای شدید از ۷ ماه در دوره آماری گذشته به ۵ ماه در دوره آماری آینده خواهد رسید (شکل ۱۶). نمودار سری زمانی سالانه یخندهانهای شدید نیز کاهش در تعداد یخندهانهای شدید در دوره آماری آینده را نشان می دهد (شکل ۱۷).

- یخندهانهای شدید: نتایج تحلیل یخندهانهای شدید با استفاده از مدل بکارگرفته شده نشان داد که یخندهانهای شدید در دوره آماری آینده نسبت به دوره آماری گذشته کاهش خواهد یافت. مقدار این کاهش بصورت میانگین برای دوره آماری آینده حدود ۶ روز خواهد بود. بیشترین کاهش ماهانه در تعداد یخندهانهای شدید در ماههای مارس و نوامبر و کمترین آن در ماههای ژانویه و فوریه خواهد بود. تعداد یخندهانهای از ۵ یخندهان در ماه ژانویه به ۴ یخندهان در دوره آماری آینده، از ۳/۵ روز در ماه فوریه به ۲/۵ روز،



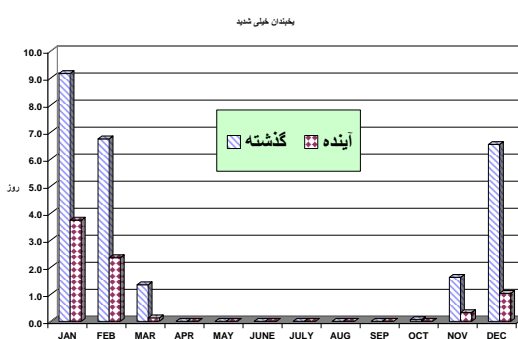
شکل ۱۶: مقایسه میانگین یخندان‌های شدید ماهانه در دو دوره آماری مورد بررسی



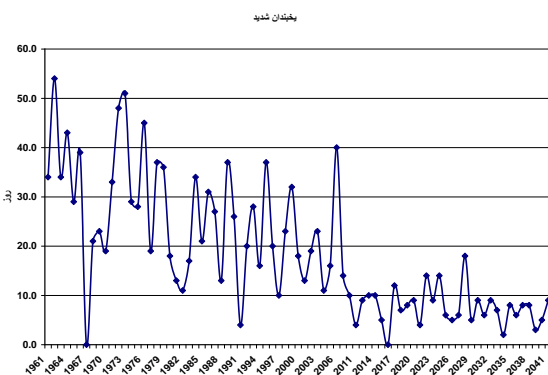
شکل ۱۷: مقایسه تعداد یخندان‌های شدید سالانه در دو دوره آماری مورد بررسی

کاهش خواهد یافت. میزان کاهش در ماههای فصل پاییز بیشتر از فصل زمستان خواهد بود. تعداد آنها از ۹ روز به  $\frac{3}{5}$  روز در ماه ژانویه، از ۶/۵ روز به ۲ روز در ماه فوریه، از ۱/۱ روز به  $\frac{1}{5}$  روز در مارس،  $\frac{1}{2}$  روز به  $\frac{1}{2}$  در ماه نوامبر و از ۶/۵ روز به یک روز در ماه دسامبر در دوره آماری آینده خواهد رسید (شکل ۱۸). نمودار سری زمانی سالانه یخندان‌های شدید نیز کاهش در تعداد یخندان‌های خیلی شدید در دوره آماری آینده را نشان می‌دهد (شکل ۱۹).

۳- یخندان‌های خیلی شدید: تحلیل یخندان‌های خیلی شدید نشان داد که میانگین آنها در دوره آماری آینده نسبت به دوره آماری گذشته کاهش خواهد یافت و میزان این کاهش حدود ۱۸ روز برای دوره آماری آینده خواهد بود. نتایج نشان داد که میزان کاهش در یخندان‌های خیلی شدید بیشتر از کاهش در یخندان‌های شدید ایستگاه است. میانگین یخندان‌های شدید در دوره آماری آینده از ماه نوامبر تا مارس خواهد بود و در تمامی ماهها تعداد آنها نسبت به دوره آماری گذشته



شکل ۱۸: مقایسه میانگین یخندان‌های خیلی شدید ماهانه در دو دوره آماری مورد بررسی



شكل ۱۹: مقایسه تعداد يخندان های خیلی شدید سالانه در دو دوره آماری مورد بررسی

ضعیف، شدید و خیلی شدید جای گرفتند که هر کدام با دو مولفه میانگین و سری سالانه مورد تجزیه و تحلیل قرار گرفتند. نتایج کلی نشان داد که تعداد يخندان های سالانه در آینده حدود ۱۸ روز نسبت به دوره حاضر کاهش خواهد یافت. در میان طبقات مورد بررسی يخندان های ضعیف دارای روند افزایشی و يخندان های شدید و خیلی شدید دارای روند کاهشی بودند. بازه زمانی يخندان های شدید و خیلی شدید از هفت ماه در دوره آماری حاضر به پنج ماه در دوره آماری آینده تقلیل خواهد یافت. میانگین افزایش در تعداد يخندان های ضعیف برای دوره آینده حدود ۵ است. مقدار کاهش در يخندان های شدید بصورت میانگین برای دوره آماری آینده حدود ۶ روز خواهد بود. میانگین يخندان های خیلی شدید در دوره آماری آینده نسبت به دوره آماری گذشته حدود ۱۸ روز کاهش خواهد یافت. این نتایج با پژوهش های آذررانفر و ابریشمچی و تحقیقات بابائیان و همکاران مقایسه و با توجه به اینکه پارامتر کیفی يخندان در این شکل تاکنون کار نشده است. نتایج این تحقیق با استفاده از مدل ها بهتر می تواند حقایق را معین نماید.

## بحث و نتیجه گیری

هدف پژوهش حاضر بر آن بود تا اثرات تغییر اقلیم را بر يخندان های شهر زاهدان با استفاده از مدل های سه بعدی گردش عمومی جو شبیه سازی نماید. برای انجام پژوهش تعداد ده مدل گردش عمومی جو بررسی گشته تا در نهایت با ارزیابی مناسبت هر کدام، مدل مناسب جهت استخراج يخندان های ایستگاه زاهدان شناسایی گردد. پس از اجرا و صحت سنجی مدل های بکار گرفته شده با روش های آماری و چشمی مشخص گردید که مدل HADGEM با میزان خطای مطلق ۰/۱۶، با انطباق کامل قابلیت شبیه سازی مولفه کمینه دما در دوره سرد سال را دارد. مقایسه میانگین دمای کمینه ماهانه در دوره آماری حاضر (۰۰/۹۶-۱۹۶۱) و دوره آماری آینده (۱۳/۲۰-۴۱) نشان داد که میانگین دمای کمینه در دوره آینده در تمامی ماه های نسبت به دوره حاضر افزایش خواهد یافت و مقدار این افزایش چیزی در حدود یک درجه سلسیوس برای ایستگاه زاهدان است. بیشترین افزایش در کمینه دما در فصل پاییز و کمترین آن در فصل زمستان مشاهده می شود. پس از استخراج يخندان ها آنها در سه طبقه

-تلان، ا. و ضرغامی، م.، ۱۳۸۷. بررسی تغییر اقلیم استان آذربایجان شرقی در دوره سالهای ۲۰۴۹ - ۲۰۲۰ میلادی با استفاده از ریز مقیاس نمایی آماری مدل ECHO-G، سومین کنفرانس مدیریت منابع آب ایران، دانشگاه تبریز، دانشکده مهندسی عمران، ۱۲۳-۲۵ مهر.

-حسامی کرمانی، م. ر.، محزونی، ج. م.، نجفی نیک، ز.، یاوری، م. و خواجه‌حسنی، س.، ۱۳۸۶. هفتمین همایش پیش‌بینی عددی وضع هوا، ۲۸ آذر.

-سدادت‌آشفته، پ. و مساح‌بوانی، ع.، ۱۳۸۷. تاثیر عدم قطعیت تغییر اقلیم بر رژیم سیلان، مطالعه موردنی، حوضه آیدوغموش، آذربایجان شرقی، مجله تحقیقات منابع آب ایران، سال پنجم، شماره ۲، پاییز ۱۳۸۸، ص ۲۷ - ۳۹.

-کارآموز، م.، ایمن، س. و نظیف، س.، ۱۳۸۶. تدوین مدل پیش‌بینی بارش جهت بهره برداری از منابع آب حوزه آبریز اهر چای: ریزمقیاس کردن آماری، سومین کنگره ملی مهندسی عمران، دانشگاه تبریز.

-نجفی نیک، ز.، ۱۳۸۷. تدوین مدل پیش‌بینی بارش جهت پایش و پیش‌آگهی خشکسالی استان کرمان با استفاده از شاخص دهک برای دوره ۲۰۱۰-۲۰۳۹، اولین کنفرانس بین‌المللی بحران آب، دانشگاه زابل، ۲۰-۲۲ اسفند ماه.

- Babaeian, I., Kwon,W.T. and Im, E.S., 2004. Application of weather generator technique for Climate change assessment over Korea. Korea Meteorological Research Institute, climate research lab, 98p.
- Elshamy, M. E., Wheater, H.S., Gedney, N. and Huntingford, C., 2005. Evaluation of the rainfall component of weather generator for climate change studies, journal of hydrology, v. 326, p. 1-24.
- Harmel, R.D., Richardson, C. W., Hanson, C. L. and Johnson, G. L.

## منابع

- اسماعیلی، ر.، ۱۳۸۶. بررسی یخ‌بندان‌های دیررس بهاره از دیدگاه آماری - سینوپتیکی و اثرات آن بر محصولات باعث مطالعه موردنی شهرستان مه ولات، پایان نامه کارشناسی ارشد. دانشگاه سیستان و بلوچستان.
- آذرانفر، آ.، ابریشم‌چی، ا. و تجریشی، م.، ۱۳۸۶. ارزیابی اثرات تغییر اقلیم بر بارش و دما در حوضه آبریز زاینده رود با استفاده از خروجی مدل‌های چرخش عمومی اتمسفر، پایان نامه کارشناسی ارشد دانشگاه صنعتی شریف دانشکده مهندسی عمران.
- بابائیان، ا.، نجفی نیک، ز.، حبیبی نوخدان، م.، زابل عباسی، ف.، ملبوسی، ش. و ادب، ح.، ۱۳۸۸. ارزیابی تغییر اقلیم کشور در دوره ۲۰۱۰-۲۰۳۹ میلادی با استفاده از ریزنمایی داده‌های مدل گردش عمومی جوG، فصلنامه جغرافیا و توسعه، شماره ۱۶، ص ۱۳۵-۱۵۲.
- بابائیان، ا.، نجفی نیک، ز.، حبیبی نوخدان، م.، زابل عباسی، ف.، ملبوسی، ش.، ادب، ح.، رسولی، س.، ج.، بذرافشان، ب. و پیشقدم، ن.، ۱۳۸۶. مدلسازی اقلیم و مطالعه تغییر اقلیم در ایران، مجری طرح: پژوهشکده اقلیم شناسی، گزارش پژوهش.

,2002. Evaluating the Adequacy of Simulating Maximum and Minimum Daily Air Temperature With the Normal Distribution, Canadian Society for engineering, 26p.

-IPCC., 1999. Guidelines on the use of scenario data for climate impact and adaptation assessment, eds, Carter, T.R., Hulme, M. and Lal, M., Version, v. 1, 69p. Intergovernmental Panel on Climate Change, Task Group on Scenarios for Climate Impact Assessment.

-Johnson, G.L., Hanson, C.L., Hardegree, S.P. and Ballard, E.B., 1996.

- Stochastic weather simulation: overview and analysis of two commonly used models, *J. Applied Meteorology*, v. 35, p.1878-1896.
- Mc kague, k., 2003. Clim Gen- A ZGnvenient weather Genera Tion Tool for Canadian climat stations, proceeding of CCAE/SCGR 2003 Meeting, Montreal, Canada.
- Rasco, P., Szeidl, L. and Semenov, M.A., 1991. A serial approach to local stochastic models, *J.Ecological Modeling*, v. 57, p. 27-41.
- Richardson, C.W. and Wright, D.A., 1984. WGEN: A model for generating daily weather variables, U.S. Dept. Agr., Agricultural Research Service, Publ. ARS-8, 83 p.
- Semenov, M.A., 2007. Development of high-resolution UKCIP02-based climate change scenarios in the UK, *Agricultural and Forest Meteorology*, v. 144, p. 127-138.
- Semenov, M.A., 2008. Simulation of extreme weather events by a stochastic weather generator, *Climate Research*, v. 35, p. 203-212.
- Semenov, M.A. and Brooks, R.J., 1999. Spatial interpolation of the LARS-WG stochastic weather generation in Great Britain, *Climate Research*, v. 11, p. 137-148.
- Thompson, C.S. and Mullan, A.B., 1995. Weather Generators, NIWA Internal report, p. 115- 120.
- Wilks, D.S., 1992. Adapting stochastic weather generation algorithms for climate change studies, *Climate Change*, v. 22, p. 67-84.
- Wilks, D.S. and Wilby, R.L., 1999. The Weather Generation game: a review of Stochastic Weather Models, *Progress in Physical Geography*, v. 23, p. 329-357.
- Willby, R.L., Dawson, C.W. and Barrow, E. M., 2001. SDSM Version 3.1 –A decision support tool for the assessment of regional climate change impacts.